

DETECTAREA ȘI CORECTAREA ERORILOR LA DECODAREA SECVENȚIALĂ A CODURILOR MATROIDE

G. Bodean, D. Bodean

Universitatea Tehnică a Moldovei

INTRODUCERE

În lucrarea [1] au fost analizate numai aspectele teoretice și tehnice de codare și decodare secvențială a codurilor matroide, fără analiza detectării și corectării erorilor. Această "lacună" va fi înlăturată în prezenta lucrare.

Pentru analiza de mai departe acceptăm codarea și decodarea sistematică. Conform tehnicii standard, aplicată codurilor nonbinare, de exemplu Reed-Solomon, detectarea și corectarea erorilor (DCE) se execută precum urmează: 1) calculul sindromului; 2) compunerea și rezolvarea ecuației cheie; 3) calculul valorilor erorilor și 4) corectarea erorilor.

Calculul sindromului **S** se efectuează conform relației matriciale:

$$\mathbf{S}_{2t \times 1} = \mathbf{H}_{2t \times n} \cdot \mathbf{c}_{n \times 1} \quad (1)$$

unde **H** este matricea de control, **c** - vectorul recepționat, *t* - numărul simbolurilor de control; *n* - lungimea cuvintelor de cod.

Valoarea erorii *e* în poziția α^i este estimată prin relația:

$$e(\alpha^i) = \frac{\Lambda(\alpha^{-i})}{\alpha^i \sigma'(\alpha^{-i})} \quad (2)$$

unde:

$$\Lambda(x) = \sum_{i=0}^t \lambda_i x^i = \sigma(x) S(x) \bmod x^{2t+1} \quad (3)$$

este polinomul evaluării erorii, iar $\sigma(x)$ - derivata abstractă, formală a polinomului locator de erori:

$$\sigma(x) = \prod_{i=1}^t (1 + \alpha^i x) = 1 + \sum_{i=1}^t \sigma_i x^i, \quad (4)$$

unde $\alpha^i \in \mathbf{GF}(2^m)$; $i = 0, 1, \dots, 2^m - 1$.

Pentru un polinom arbitrar derivata formală asupra câmpului Galois $\mathbf{GF}(2^m)$, $m = 2, 3, \dots$, este:

$$f'(z) = \sum_{i=0}^{\psi} a_{2i+1} z^{2i} = a_1 + a_3 z^2 + \dots + a_{2\psi+1} z^{2\psi}, \quad (5)$$

unde $\psi = \text{int} \frac{n-1}{2}$ [2].

Rădăcinile polinomului (4) "indică" pozițiile erorilor în vectorul recepționat **c**. Pentru aceasta pozițiile componentelor vectorului **c** sunt marcate precum este prezentat în fig. 1.

$$\begin{array}{ll} \text{poziția} & \alpha^i: \alpha^0 \alpha^1 \alpha^2 \dots \alpha^{n-1} \\ \text{componenta} & c_i: c_0 c_1 c_2 \dots c_{n-1} \end{array}$$

Figura 1. Marcarea pozițiilor în cuvântul de cod prin elementele câmpului $\mathbf{GF}(2^m)$.

Căutarea rădăcinilor polinomului locator $\sigma(x)$ se efectuează prin trierea elementelor nonzero ale câmpului - procedura **Chien Search**, iar expresia (2) este esența algoritmului **Forney**.

Compunerea polinoamelor $\Lambda(x)$ și $\sigma(x)$ poate fi efectuată prin una din metodele: 1) algoritmul Berlekamp-Massey (BMA); 2) algoritmul Euclidean (EA); 3) soluționarea directă sau algoritmul Peterson-Gorenstein-Zierler.

Metoda directă este aplicabilă pentru valori mici ale parametrului *t*, BMA este rezonabil de implementat la nivel soft, iar EA este larg aplicat în implementarea hard.

Conform tradiției, anume algoritmul Euclidean va fi utilizat pentru implementarea algoritmului de detectare și corectare secvențială a erorilor în codurile matroide de lungimile $n = 2^m$ și $n = 2^m + 1$. În continuare vor fi expuse particularitățile DCE pentru aceste coduri și vor fi prezentate rezultatele implementării codecului matroid în sistemul de proiectare Altera-Quartus.

1. CALCULUL SINDROMULUI

Pentru calculul polinomului sindromului $S(x) = 1 + \sum_{i=1}^{2t} S_i x^i$ al codului matroid cu parametrii (*m*, *k*, *t*), unde:

$$t = (n-k) \text{ div } 2, n = 2^m \text{ sau } n = 2^m + 1 \text{ și } k < n; \quad (6)$$

unde $m = 2, 3, \dots$; se definește matricea de control **H** de forma:

$$\mathbf{H} = \begin{bmatrix} 0 & 1 & \alpha^1 & \dots & \alpha^{n-2} & 1 \\ 0 & 1 & \alpha^2 & \dots & \alpha^{2(n-2)} & 0 \\ \vdots & \vdots & \vdots & \dots & \vdots & \vdots \\ 0 & 1 & \alpha^{2t-1} & \dots & \alpha^{(2t-1)(n-2)} & 0 \\ 1 & 1 & \alpha^{2t} & \dots & \alpha^{2t(n-2)} & 0 \end{bmatrix}, \quad (7)$$

unde $\alpha^i \in \mathbf{GF}(2^m)$.

Pentru analiza de mai departe ne restricționăm la cazul $n = 2^m$. Atunci, din matricea (7) se va omite ultima coloană, iar ecuația (1) devine egală cu:

$$\begin{bmatrix} S_1 \\ S_2 \\ \vdots \\ S_{2t-1} \\ S_{2t} \end{bmatrix} = \begin{bmatrix} 0 & 1 & \alpha^1 & \dots & \alpha^{n-2} \\ 0 & 1 & \alpha^2 & \dots & \alpha^{2(n-2)} \\ \vdots & \vdots & \vdots & \dots & \vdots \\ 0 & 1 & \alpha^{2t-1} & \dots & \alpha^{(2t-1)(n-2)} \\ 1 & 1 & \alpha^{2t} & \dots & \alpha^{2t(n-2)} \end{bmatrix} \cdot \begin{bmatrix} c_{-1} \\ c_0 \\ \vdots \\ c_{n-3} \\ c_{n-2} \end{bmatrix}. \quad (8)$$

Din relația (8) rezultă:

$$S_{2t} = 1 + \sum_{j=0}^{n-2} c_j \alpha^{2t \cdot j}$$

și

$$S_i = \sum_{j=0}^{n-2} c_j (\alpha^i)^j, \text{ dacă } i = \overline{1, 2t-1}. \quad (9)$$

Reamintim aici că toate operațiile aditive și multiplicative se execută **modulo** polinomul primitiv $p(x)$ al câmpului $\mathbf{GF}(2^m)$.

Din (9) ușor se observă că la implementare elementul de bază va reprezenta un circuit care trebuie să conțină un multiplicator universal asupra $\mathbf{GF}(2^m)$ și un element de memorie. Diagrama acestui circuit de bază este prezentată în fig.2.

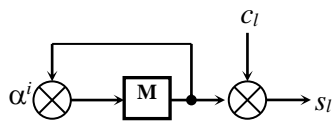


Figura 2. Diagrama circuitului de bază de tip multiplicator-multiplicator: □ - element de memorie; ⊗ - multiplicator.

Deci, pentru calculul componentei S_i a sindromului $S(x)$ sunt necesare $2^m - 2$ circuite de bază ajustate la pozițiile unui registru de tip **FIFO** (First Input, First Output), în care este stocat vectorul recepționat c . Ieșirile circuitelor de bază, precum rezultă din (9), vor fi conectate bit-cu-bit la un sumator de tip **XOR**.

În fig.3 este prezentată diagrama unității de

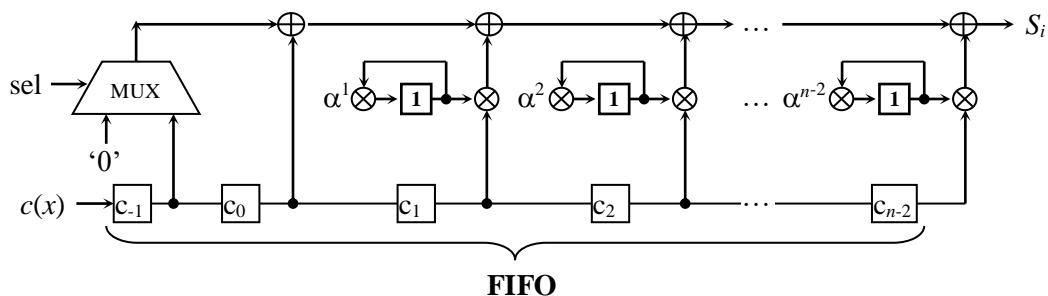


Figura 3. Diagrama unității de calcul al componentelor sindromului $S(x)$:

□ - element de memorie setat în '1' în momentul inițial de timp; ⊕ - sumator XOR bit-cu-bit.

calcul al sindromului pentru cazul $n = 2^m$. Destinația multiplexorului **MUX** este ușor de înțeles din relația (8); el va fi comutat la poziția c_{-1} în momentul de timp (tactul) $2t$, când se va calcula componenta S_{2t} .

Modul de funcționare a unității. Vectorul recepționat $c(x)$:

$$c(x) = \sum_{i=0}^{n-1} c_{i-1} x^i, \quad (10)$$

este încărcat secvențial în registrul **FIFO**. Elementele de memorie ale circuitelor de bază sunt setate în '1', selectorul *sel* a comutat multiplexorul **MUX** la poziția '0'. În perioada de $2t-1$ tacte secvențial sunt calculate componentele sindromului: $S_1, S_2, \dots, S_{2t-1}$. În ultimul tact, al $2t$ -lea, selectorul *sel* comutează multiplexorul **MUX** la poziția c_{-1} și se formează ultima componentă, S_{2t} , a sindromului $S(x)$.

Exemplul 1. Fie M-codul cu parametrii $(n, k, t) = (8, 4, 2)$ asupra câmpului $\mathbf{GF}(2^3)$ cu $p(x) = 1 + x + x^3$. Vectorul transmis este $c(x) = 0$. Perturbațiile în canal au distorsionat două simboluri. În rezultat a fost recepționat vectorul eronat: $c'(x) = 6 + x^7 = \alpha^4 + \alpha^0 x^7$.

Calculăm sindromul $S(x)$ pentru vectorul eronat, avem:

$$\begin{bmatrix} S_1 \\ S_2 \\ S_3 \\ S_4 \end{bmatrix} = \begin{bmatrix} 0 & 1 & \alpha^1 & \alpha^2 & \alpha^3 & \alpha^4 & \alpha^5 & \alpha^6 \\ 0 & 1 & \alpha^2 & \alpha^4 & \alpha^6 & \alpha^1 & \alpha^3 & \alpha^5 \\ 0 & 1 & \alpha^3 & \alpha^6 & \alpha^2 & \alpha^5 & \alpha^1 & \alpha^4 \\ 1 & 1 & \alpha^4 & \alpha^1 & \alpha^5 & \alpha^2 & \alpha^6 & \alpha^3 \end{bmatrix} \cdot \begin{bmatrix} \alpha^4 \\ 0 \\ 0 \\ 0 \\ 0 \\ 0 \\ 0 \\ 1 \end{bmatrix} =$$

$$= \begin{bmatrix} \alpha^6 \\ \alpha^5 \\ \alpha^4 \\ \alpha^6 \end{bmatrix} = \begin{bmatrix} 5 \\ 7 \\ 6 \\ 5 \end{bmatrix}. \quad (11)$$

Remarca 1: Componentele sindromului din (11) sunt prezentate în forma exponențială și numerică.

Deoarece sindromul $S(x)$ nu-i egal cu 0, se trece la compunerea și rezolvarea ecuației-cheie.

2. ALGORITMUL EUCLIDEAN

În algoritmul Euclidean este calculat cel mai mare divizor comun (CMMDC) a două polinoame $r_0(x)$ și $r_1(x)$.

Succint, EA conține următorii pași:

- Condițiile inițiale: $r_0(x) = x^{2t+1}$, $r_1(x) = S'(x)$, $a_0(x) = 1$, $a_1(x) = 0$, $b_0(x) = 0$, $b_1(x) = 1$;
- Pasul $i(i > 2)$, executăm divizarea $r_{i-2}(x)$ la $r_{i-1}(x)$;
- și calculăm:

$$\begin{aligned} a_i(x) &= a_{i-2}(x) - q_i(x) a_{i-1}(x), \\ b_i(x) &= b_{i-2}(x) - q_i(x) b_{i-1}(x). \end{aligned} \quad (12)$$

- Stop la iterația i_{end} în care $\mathbf{deg} r_{i_{end}}(x) = 0$.

Atunci $\text{CMMDC}(r_0(x), r_1(x)) = r_u(x)$, unde u este cel mai mare întreg nonzero astfel, încât $r_u(x) \neq 0$ și $u < i_{end}$.

Depănăm pașii algoritmului Euclidean pentru exemplul 1. Avem:

- Condițiile inițiale:

$$\begin{aligned} r_0(x) &= x^5, \\ r_1(x) &= S(x) = 1 + 5x + 7x^2 + 6x^3 + 5x^4, \\ b_0(x) &= 0, \\ b_1(x) &= 1. \end{aligned}$$

• $i = 1$: împărțind $r_0(x)$ la $r_1(x)$, obținem restul $r_2(x) = 5 + 5x + 7x^2 + 6x^3$ și câtul $q_2(x) = 5 + 2x$. Calculăm:

$$b_2(x) = b_0(x) + b_1(x) q_2(x) = 5 + 2x. \quad (13)$$

- $i = 2$: împărțim $r_1(x)$ la $r_2(x)$, obținem:

$$\begin{aligned} r_3(x) &= 6x; \quad q_3(x) = 2 + 4x \text{ și} \\ b_3(x) &= b_1(x) + b_2(x) q_3(x) = 6x + 3x^2. \end{aligned} \quad (14)$$

Stop depanarea algoritmului, deoarece $\mathbf{deg} r_3(x) = 1 < t$. Deci, polinomul erorii este $\Lambda(x) = r_3(x) = 6x$ și polinomul locator $\sigma(x) = b_3(x) = 6x + 3x^2$.

Unitatea EA conține două circuite: unul de divizare a polinoamelor și altul de convoluție a polinoamelor.

Circuitul de divizare a polinoamelor se va implementa după schema clasică a registrului de deplasare cu sumatoarele incluse, unde legăturile de reacție vor conține multiplicatoarele la coeficienții respectivi ai polinomului-numitor $r_i(x)$ [3]. Dar după fiecare pas (iterație), valorile coeficienților r_i

$r_i(x)$ trebuie să se schimbe (exchange) cu valorile coeficienților polinomului-rest $r_i(x)$. Atunci, convențional diagrama unității de divizare a polinoamelor poate fi reprezentată precum este

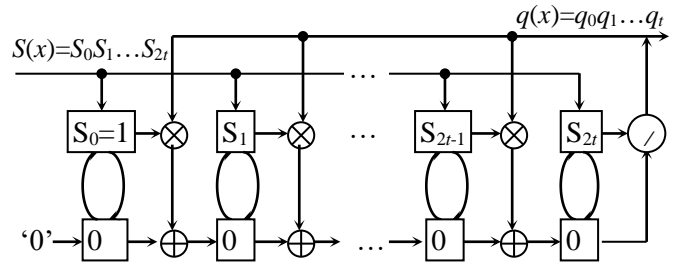


Figura 4. Diagrama circuitului de divizare a polinoamelor: □ - element de memorie cu starea inițială indicată; ⊗ - multiplicator modular; ⊕ - divizor modular.

arătată în fig.4.

Pentru perfectarea operației de divizare a două polinoame $a(x)$ și $b(x) < \mathbf{deg} a(x) \leq 2t+1$ se vor cheltui de la 1 până la $\lceil \mathbf{deg} a(x) - \mathbf{deg} b(x) \rceil = t$ tacte.

A doua unitate constitutivă a blocului EA este circuitul de convoluție (înmulțire modulo $p(x)$) a două polinoame. Circuitul de convoluție este destinat pentru calculul polinomului locator $\sigma(x)$ și poate fi implementat de exemplu, după schema registrului de deplasare cu sumatoare exterioare sau incluse [3]. Însă, fiind vorba de calculul concomitent cu circuitul de divizare, este rațional de implementat circuitul de convoluție după schema de tip "systolic array" [4].

$$\text{Convoluția a două polinoame } a(x) = \sum_{i=0}^t a_i x^i$$

și $b(x) = \sum_{i=0}^t b_i x^i$ asupra câmpului $\mathbf{GF}(2^m)$ cu $p(x)$ este un al treilea polinom $c(x)$, astfel încât:

$$c(x) = \sum_{i=0}^t c_i x^i = a(x) \cdot b(x) \text{ mod } p(x), \quad (15)$$

unde $c_i = \sum_{j=0}^i a_{i-j} b_j$.

Conform EA în fiecare iterație polinomii-factori din (15) se succed unul cu altul, iar la convoluția $c(x)$ se adaugă rezultatul iterației precedente.

Descrierea neformală efectuată anterior este suficientă pentru a sintetiza circuitul de convoluție, iar relațiile (13) și (14) vor fi ghidul pentru sintetizare diagramei circuitului de convoluție în exemplul 1, care este prezentată în fig. 5.

Circuitul prezentat în fig.5, funcționează în modul următor. În momentul inițial de timp, la începutul depanării EA, registrul **A** conține coeficienții polinomului $b_0(x)$, iar registrul **B**

coeficienții polinomului $b_1(x)$; starea registrului D este arbitrară. Coeficienții cătului $q(x)$ sunt deplasați secvențial în registrul Q .

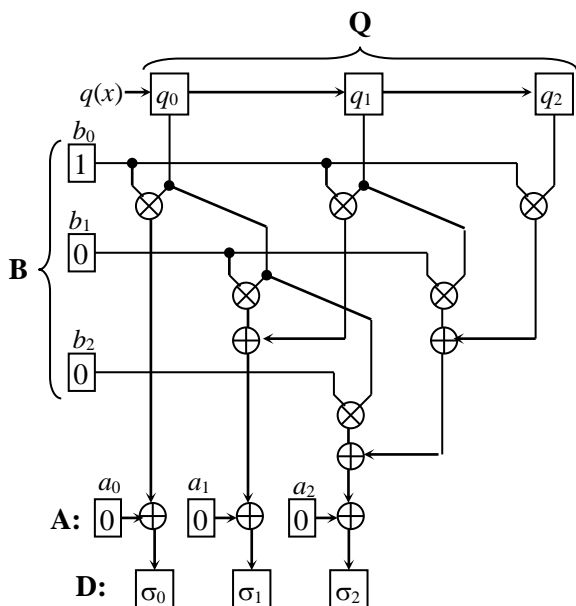


Figura 5. Diagrama circuitului de convoluție.

Prin tactare, rezultatul convoluției și sumei $B \cdot Q + A$ este salvat în registrul D :

$$D \leftarrow B \cdot Q + A. \tag{16}$$

Concomitent cu această operație (16) poate fi executată operație de transcriere a polinomului din B în A , adică:

$$A \leftarrow B. \tag{17}$$

În final, dacă se execută următorii pași ai algoritmului Euclidean, atunci are loc transcrierea rezultatului:

$$B \leftarrow D. \tag{18}$$

Deci, în total, în fiecare iterație EA (în afară de ultima), circuitul de convoluție perfectează calculele exact în 2 tacte.

3. LOCALIZAREA ȘI CORECTAREA ERORILOR

Localizarea erorilor se face prin intermediul polinomului locator $\sigma(x)$ care este calculat în EA simultan cu polinomul de evaluare a erorii $\Lambda(x)$. Rădăcinile polinomului $\sigma(x)$ indică pozițiile erorilor în vectorul recepționat $c(x)$ (vezi fig.1).

Până în prezent nu este cunoscută o metodă de calcul direct al rădăcinilor unui polinom asupra câmpului Galois. De aceea, rădăcinile polinomului sunt căutate prin trierea elementelor nonzero ale câmpului. Procedura este cunoscută sub denumirea *Chien Search*. Dar procedura *Chien Search* este

valabilă pentru cazul $n \leq 2^m - 1$, adică procedura permite localizarea erorilor componentelor c_i , indicele cărora ia valori din diapazonul $0 \leq i \leq n - 2$, în cazul $n = 2^m$! Rezolvarea problemei e simplă, componenta c_{-1} a vectorului recepționat rămâne de verificat în afara procedurii, aplicând relația $c_{-1} = \sum_{i=0}^{n-2} c_i \alpha^{r-i}$ (vezi (19) din [1]). Și mai mult, deoarece c_{-1} este un simbol de control, nu este necesară corectarea lui. Dar, din punct de vedere metodic, în continuare vor fi triate toate pozițiile vectorului $c(x)$. Pentru exemplul analizat și elementele câmpului $\alpha^0, \alpha^1, \dots, \alpha^6$, calculele $\sigma(x)$

Tabelul 1. Calculul valorilor polinoamelor $\sigma(x)$, $\Lambda(x)$ și $e(x)$.

i	$x = \alpha^i$		$\sigma(\alpha^i) = 6x + 3x^2$	$\lambda(\alpha^i) = 6x$	$e(\alpha^i) = \frac{\alpha^{-i} \Lambda(\alpha^{-i})}{6}$
	Exp.	Val. num.			
6	$\alpha^{-6} \equiv \alpha^1$	2	$7 + 7 = 0$	7	1
5	$\alpha^{-5} \equiv \alpha^2$	4	$5 + 1 = 4$	5	1
4	$\alpha^{-4} \equiv \alpha^3$	3	$1 + 4 = 5$	1	1
3	$\alpha^{-3} \equiv \alpha^4$	6	$2 + 6 = 4$	2	1
2	$\alpha^{-2} \equiv \alpha^5$	7	$4 + 5 = 1$	4	1
1	$\alpha^{-1} \equiv \alpha^6$	5	$3 + 2 = 1$	3	1
0	α^0	1	$6 + 3 = 5$	6	1
-1	$\alpha^{-\infty}$	0	$0 + 0 = 0$	0	$e(\alpha^{-\infty})$

sunt grupate în Tabelul 1.

Schema circuitului de implementare a polinomului-locator $\sigma(x)$ urmează structura (4) și va conține un set de t circuite de bază (fig.2), ieșirile cărora vor fi conectate la un sumator XOR bit-cu-bit. Diagrama circuitului preconizat este prezentată în fig.6.

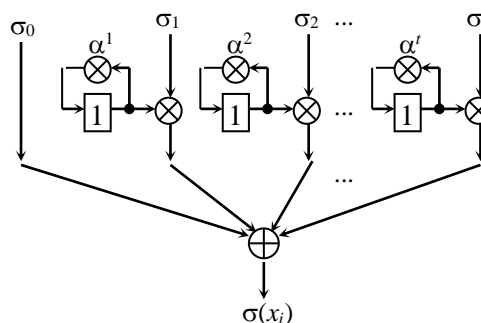


Figura 6. Diagrama circuitului de calcul al polinomului-locator $\sigma(x)$.

În momentul inițial de timp elementele de memorie ale circuitelor de bază sunt setate în '1'. Se execută succesiv $2^m - 1$ tacte ale procedurii *Chien Search*. Sunt fixate pozițiile valorilor i , pentru care a fost determinat:

$$\sigma(\alpha^i) = 0. \quad (19)$$

Conform datelor din tabelul 1, rădăcinile polinomului $\sigma(x)$ sunt α^1 și $\alpha^{-\infty}$, care corespund pozițiilor α^6 și $\alpha^{-\infty}$, adică componentele c_{-1} și c_6 sunt eronate.

Valorile erorilor $e(\alpha^i)$ în pozițiile localizate vor fi estimate conform (2). Derivata $\sigma'(x)$, conform (5), este egală cu:

$$\sigma'(x) = (6x+3x^2)' = 6,$$

și valorile erorilor, conform calculelor din tabelul 1, sunt:

$$e(\alpha^6) = \alpha^{-6}\Lambda(\alpha^{-6})/6 = 7/2 \cdot 6 = 1.$$

Eroarea în poziția $\alpha^{-\infty}$, adică pentru componenta c_{-1} , se va determina conform relației:

$$e(\alpha^{-\infty}) = \sum_{i=0}^{n-2} c_i \alpha^{2t-i}, \quad (20)$$

unde c_i sunt valorile corecte ale componentelor vectorului $c(x)$.

În exemplul analizat, pentru $i = \overline{0,5}$, componentele vectorului recepționat sunt corecte și egale cu zero, iar componenta c_6 după corectare, devine:

$$\hat{c}_6 = c_6 + e(\alpha^6) = 1 + 1 = 0.$$

Prin urmare, valoarea componentei $c_{-1} = 0$.

Remarca 2. Reamintim că, de fapt, este *suficient* de căutat rădăcinile pentru indicii componentelor $c(x)$, care reprezintă simbolurile informaționale. Pentru exemplul analizat avem $k=4$ simboluri informaționale localizate pe pozițiile $c_3...c_6$ în vectorul $c(x)$. Aceasta va duce la modificarea respectivă a multiplicatoarelor la constanta α^i din fig.6.

Pentru a definitiva analiza proiectului, trebuie de arătat diagrama circuitului de calcul al polinomului evaluării erorii $\Lambda(x)$. Această diagramă este prezentată în fig.7.

Remarca 3. Proiectul conține circuite de divizare modulară. Pentru implementarea acestor circuite pot fi aplicați algoritmi de generare a unității de divizare sau tabelele de transformare a datelor LUT (Look-Up-Table).

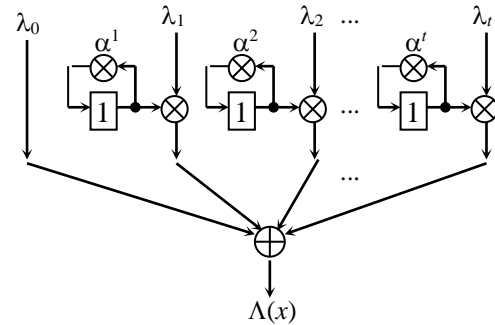


Figura 7. Diagrama circuitului de calcul al polinomului evaluării erorii $\Lambda(x)$.

4. IMPLEMENTAREA UNITĂȚII DE DETECTARE ȘI LOCALIZARE

Platforma soft de proiectare este sistemul Quartus-Altera (version 6). Limbajul de descriere a proiectului este **VHDL**. Schema-bloc integrală a proiectului codecului codului matroid este prezentată în fig.8.

Unitățile de control - *control Coder*, *control Syndrom* și *control EA*, rămân intacte la adaptarea parametrică a proiectului. De aceea vom analiza resursele *hard* necesare pentru implementarea unităților rămase. De regulă complexitatea unui codec cu parametrii (n, k, t) se estimează în raport cu parametrii t și n , iar în codul matroid avem: $2t=n-k$.

Coderul conține un registru de deplasare cu reacție liniară și un element adițional. Registrul de deplasare constă din $2t-1$ celule cu binaritatea m bituri. Reacția liniară conține $2t-1$ porți logice

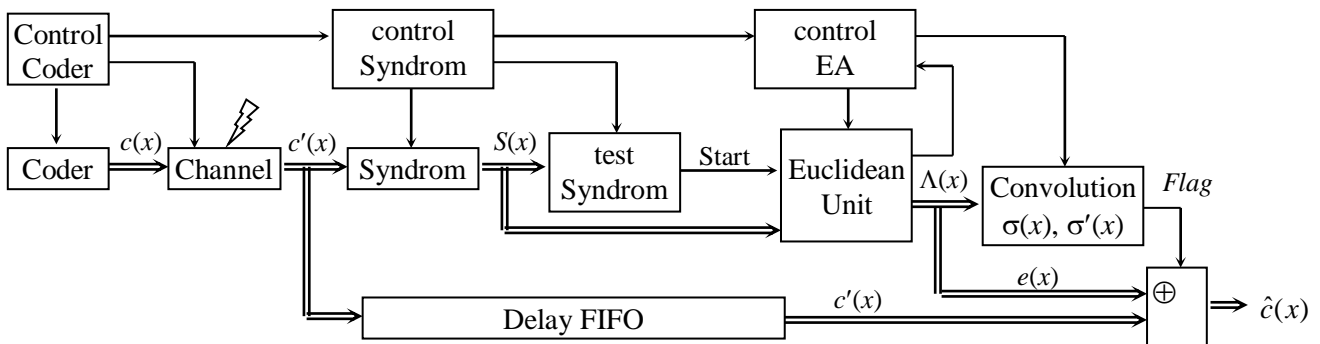


Figura 8. Bloc-diagrama codecului matroid cu unitatea Euclidiană de detectare și corectare a erorilor.

2XOR și până la $2t-1$ multiplicatoare la constantă. Elementul adițional conține un registru de m bituri, un multiplicator universal, un multiplicator la constantă și m porți **2XOR**.

Blocul *Channel* este destinat pentru simularea zgomotelor (perturbațiilor) și nu este o parte inerentă a sistemului.

Unitatea *Syndrom*, conform descrierii anterioare, conține un registru de deplasare (tip **FIFO**) cu n poziții a câte m bituri, $n-2$ elemente de bază complexitatea fiecăruia este egală cu un registru de m bituri, un multiplicator la constantă și un multiplicator universal. Partea combinațională a unității mai conține $n- m$ porți logice **2XOR** și m porți **2SI**.

Unitatea *TestSyndrom* verifică egalitatea cu zero a componentelor sindromului $S(x)$ și conține o poartă logică $(n-k)$ **SAU** și $(2t) \cdot m$ porți logice **2SI**.

Unitatea *EA* - unitatea de divizare a polinoamelor și de calcul a polinomului de evaluare $\Lambda(x)$, respectiv cu complexitățile:

- $2m(n-k) = 4tm$ bituri de memorie, $2t$ multiplicatoare universale și $2tm$ porți logice **2XOR**;

- $(t-1)m$ bituri de memorie, $t-1$ multiplicatoare universale și multiplicatoare la constantă.

Unitatea *Convolution* – unitate de calcul a convoluției a două polinoame, a polinomului locator $\sigma(x)$, a derivatei $\sigma'(x)$ și a valorii erorii $e(x)$. Complexitățile *hard* a blocurilor respective sunt:

- calculul convoluției – $4(t+1)m$ bituri de memorie, multiplicatoare universale, porți logice **2XOR**;

- calculul $\sigma(x)$ - mt bituri de memorie, t multiplicatoare universale și la constantă, mt porți logice **2XOR**;

- calculul $\sigma'(x)$ - $m((t-1) \text{ div } 2)$ bituri de memorie și porți logice **2XOR**, $(t-1) \text{ div } 2$ multiplicatoare universale și la constantă;

- calculul $e(x)$ - m bituri de memorie, t multiplicatoare universale și unul la constantă, un

LUT de capacitatea 2^m .

În calitate de unitate *Delay FIFO* poate fi folosit registrul **FIFO** al unității *Syndrom*, iar poarta de ieșire **XOR** (fig.8) conține m porți logice **2XOR**.

Acum pot fi efectuate calculele de estimare prealabilă a complexității proiectului pentru a selecta dispozitivul programabil **PLD** potrivit.

În tabelul 2 sunt prezentate formulele de calcul a complexităților, iar în tabelul 3 – valorile estimate ale complexităților la implementarea *hard* a codecurilor cu parametrii indicați.

Tabelul 2. Complexitatea codecului codului matroid.

Memorie, bit	$m(12,5t+2n+3/2)+n$
Porți 2XOR	$m(t^2/2+6t+n+1/2)$
Porți 2AND	$m(2t+1)$
Multiplicatoare la constantă	$n \cdot t/2+n+2$
Multiplicatoare universale	$t^2/2+6t+n+1$

Estimările din ultima linie (marcată cu $m = 8$) a tabelului 3 au o însemnătate practică deosebită, deoarece e vorba de parametrii codecului în standardul DVB-H. Ușor se observă că ponderea cea mai mare în cheltuielile *hard* o au multiplicatoarele universale – de peste 100 de ori mai mare decât alte unități ale proiectului. Complexitatea unui multiplicator universal a fost estimată după formula:

$$(2m^2-3m+1)\mathbf{XOR}+(2m^2-m)\mathbf{AND}. \quad (21)$$

Bineînțeles, instrumentarul de sintetizare a circuitelor combinaționale CAD-Quartus pot diminua mărimea (21). Dar, necătând la aceasta, complexitatea *hard* a unui multiplicator universal va rămâne de ordinul $(3...4)m^2$ porți logice (cu 2 intrări).

În cazul $m= 8$, conform (21) multiplicatorul universal va conține în total 225 porți logice și are o structură ierarhică de cel puțin 15 trepte (etaje). În aceste condiții reținerile semnalelor în etajele multiplicatorului vor afecta drastic performanțele de

Tabelul 3. Cheltuielile *hard* pentru codecurile cu $k/n = 3/4$.

m	t	n	k	Memorie, bit	Multiplicatoare		Porți 2XOR	Porți 2AND
					la constantă*	universale**		
3	1	8	6	98	30	155+233	45	9
4	2	16	12	250	107	651+864	122	20
5	4	32	24	610	344	2340+2925	325	45
6	8	64	48	1441	1024	7975+9570	867	102
7	16	128	96	3330	2890	27534+32123	2468	231
8	32	256	192	7564	7800	100905+115320	7684	520

*) - complexitatea în medie estimată în porți logice **2XOR**;

) - complexitatea estimată în porți **2XOR+2AND.

viteză ale codecului!

Au fost generate proiectele codecurilor pentru caracteristica $k/n=3/4$ și $n=2^m$. Implementarea într-un singur circuit PLD a reușit pînă la $m=6$. Pentru $m>6$ nici un circuit PLD-Altera nu oferă resurse suficiente pentru implementarea în ansamblu a M-codecului. Soluția constă în implementarea distribuită a unităților prezentate în fig.8.

5. REZULTATELE SIMULĂRII

Pentru testarea experimentală a fost selectat și implementat M-codecul exemplificat cu parametrii $(n, k, t) = (8, 4, 2)$ asupra $GF(2^3)$. În fig.9 sunt prezentate diagramele de timp a simulării funcționării codecului, cazul în care vectorul recepționat conține două erori, $c'(x) = x^7+6$.

Explicații asupra fig.9. Pentru a atinge o sincronizare cât mai perfectă în circuit se aplică semnale de tactare bifazate. Coderul generează vectorul eronat $c'(x) = x^7+6$ (prima în canal apare componenta c_6). Semnalul *rstSyn* setează elementele de bază ale unității *Syndrom* în starea inițială și startează calculul sindromului $S(x) = \langle S_4 S_3 S_2 S_1 \rangle$.

deoarece $S(x) \neq 0$, ieșirea *Yes* a unității *Syndrom* (fig.8) tranzitează în starea '1'. Semnalul *Start* pornește entitățile algoritmului Euclidean:

- La început, instrucțiunea *MakeDeg*, sunt calculate gradele polinomului-deîmpărțit *DegR* și a polinomului-divizor *DegD*;
- Instrucțiunea *Div* execută un tact de divizare a polinoamelor, la ieșirea *Euclid* apare primul rezultat, egal cu 2, care se înscrie cu semnalul *enConv* în unitatea *Convolution*;
- Instrucțiunea *Comp* testează gradele polinoamelor *DegR* și *DegD*, pentru ca unitatea *controlEuclid* să ia decizia: a continua sau nu divizarea polinoamelor;
- După doi pași de divizare avem $DegR < DegD$, de aceea are loc schimbul polinoamelor, instrucțiunea *xch*, și înscrierea rezultatului convoluției cântului $2+5x$ la 1 (instrucțiunea *Move*);
- Instrucțiunea *Save* salvează rezultatul convoluției în registrul **B** (fig.5);
- Deoarece $DegR > t$, operațiile de divizare și convoluție a polinoamelor continuă. În rezultat unitatea *Euclidean* (fig.8) va conține polinomul de

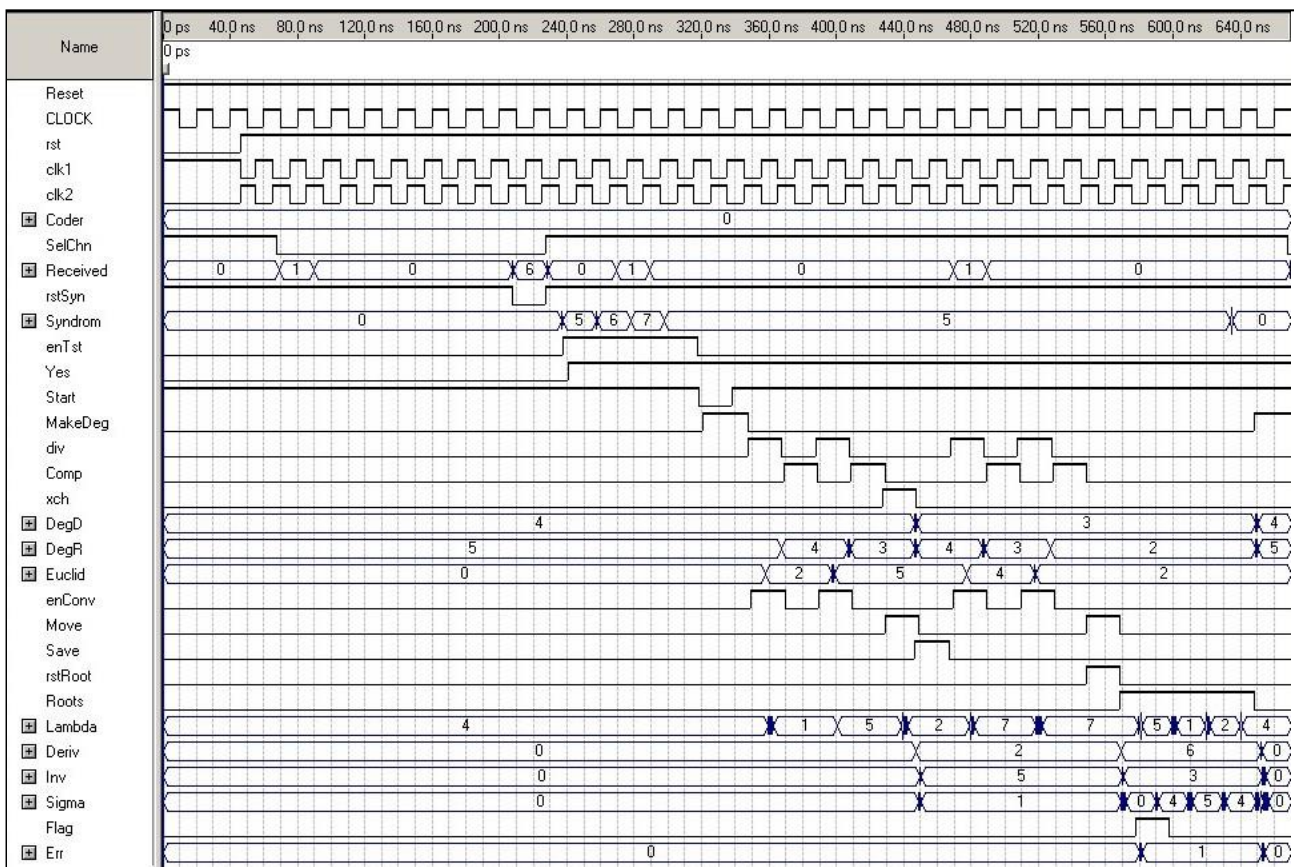


Figura 9. Diagramele waveform a detectării și localizării erorii duble; codul M(8, 4, 2) asupra $GF(2^3)$.

Semnalul de permitere *enTst* permite analiza sindromului calculat (vezi linia *Syndrom*, fig.9), și,

evaluare $\Lambda(x)$, iar unitatea *Convolution*, polinomul-locator $\sigma(x)$ și derivata acestuia $\sigma'(x)$;

- Instrucțiunea *rstRoots* setează în starea inițială memoriile elementelor de bază, iar în perioada instrucțiunii *Roots* are loc calculul valorilor polinoamelor $\Lambda(x)$, $\sigma(x)$, $\sigma'(x)$ și $e(x)$ pentru primele $k=4$ poziții ale vectorului recepționat - vezi respectiv liniile *Lambda*, *Sigma*, *Deriv* și *Err* în fig.9.

Precum se observă în fig.9 prin nivelul înalt al semnalului *Flag* s-a semnalizat prezența erorii în poziția selectată, iar valoarea erorii *Err* pentru această poziție este egală cu 1, ceea ce corespunde cu rezultatele din tabelul 1.

Trebuie de consemnat faptul că circuitul **PLD**, selectat pentru proiect este din familia **MAX II** de tipul EPM240GT100C3, iar frecvența maximală care poate fi atinsă de codec constituie 100 MHz per simbol ori 400 MHz per bit.

CONCLUZII

Elaborarea proiectelor codecurilor codurilor nonbinare corectoare de erori, în deosebi ale codurilor Reed-Solomon, este o temă închisă pe "arena" telecomunicațiilor în ultima perioadă de timp. Această bătălie este inițiată, în mare parte, de acceptarea standardelor DVB, în particular DVB-H, care impune o rată înaltă de prelucrare a datelor și o performanță considerabilă a capacității corectoare t , egală cu 32. Însă standardul DVB este orientat anume spre aplicarea RS-codurilor, lungimea cărora este limitată $n \leq 2^m - 1$. În anumite domenii, și anume rețelele de calculatoare, sistemele **RAID** etc., această restricție este inacceptabilă. Bineînțeles că există modificări ale codurilor Reed-Solomon, așa numitele, RS-coduri *extinse*, care, cel puțin la nivel algoritmic, propun soluții și pentru cazurile $n = 2^m$ și $n = 2^m + 1$.

Pe de altă parte, în silința lor de "a fi printre primii", autorii publicațiilor lasă în afara analizei unele probleme, care, la prima vedere, ar părea să fie minore, dar care pot avea repercusiuni majore asupra performanțelor proiectului. Revenind asupra algoritmului Euclidean, este vorba de analiza algoritmului de control al procedurii de divizare a polinoamelor. Doar, în practică, pot fi cazuri diferite! De exemplu, $\deg S(x) < 2t$, sau $\deg r(x) \leq t$ imediat după executarea primei instrucțiuni de divizare, sau numărul de pași de divizare variază de la o iterație la alta (de la 1 pînă la $2t+1$ pași) etc. Aceste "particularități" se răsfrâng asupra timpului de divizare a polinoamelor și pot introduce o reținere (*Delay*) considerabilă în procesul de detectare și localizare a erorilor.

Atunci, rămâne ca proiectantul să decidă (aleagă) ce tip de arhitectură este mai convenabilă la

moment pentru implementarea codecului: ori *asincronă*, ori *secvențială*, ori cea *mixtă*, adică secvenția-asincronă.

Pentru detectarea erorilor (calculul sindromului) în codurile Reed-Solomon se folosește matricea de control care urmează structura matricei Vandermonde. Pe de altă parte, matricea Vandermonde și modificările sale care păstrează proprietatea de independență liniară reprezintă matricea matroidului uniform asupra câmpului Galois. De aceea, prin extensie, se pot afirma că RS-codurile sunt o subclasă a codurilor matroide.

În lucrare a fost prezentată tehnica (metodica) de aplicare a algoritmului Euclidean de divizare a polinoamelor pentru localizarea și corectarea erorilor în codurile matroide cu procesarea secvențială simbol cu simbol a datelor. Metodica propusă este adusă la nivelul de implementare **VHDL**-proiect. Verificările și testările efectuate au demonstrat viabilitatea proiectului. Prin adaptare, proiectul elaborat poate genera structuri ale codecurilor pentru o gamă largă și variată a parametrilor codurilor matroide corectoare de erori.

Bibliografie

1. **Bodean G.** Codarea și decodarea secvențială a codului matroid.- *Meridian Ingineresc*, Nr. 2, Chișinău, 2007.
2. **Mutter V.M.** *Osnovy pomehonstojchivoj teleperedachi informaczii.* -L.: *Energoatomizdat. Leningr. otd.-nie.*, 1990, 228 p.
3. **Peterson W.W., Weldon E.J.** *Error-Correcting Codes.* - MIT Press, Cambridge, 1972.- 560 p.
4. **Ullman J.** *Computational aspects of VLSI.* - New York, NY: *Computer Science Press*, 1984.

Aprobat spre publicare: 20.01.2007